

نقش حفاظتی کلریدلیتیوم در مقابل القای آپوپتوزیس در سلول‌های بنیادی مزانشیمی مشتق از مغز استخوان موش صحرایی در محیط کشت

محمد رضا باغبان اسلامی نژاد^{*}، محمود تلخابی^۱، بهمن زینلی^۱، پوپک افتخاری بزدی^۲

چکیده

اهداف. هدف این تحقیق، بررسی اثرات حفاظتی کلریدلیتیوم در مقابل آپوپتوزیس القا شده در کشت سلول‌های بنیادی مزانشیمی موش صحرایی است.

روش‌ها. در مطالعه تجربی حاضر، سلول‌های مغز استخوان موش صحرایی در غلظت‌های ۲، ۵ و ۱۰ میلی مولار کلریدلیتیوم، تا پاساز سوم کشت شد و در پایان این دوره، تعداد سلول‌های زنده در گروه‌های مختلف با روش رنگ‌آمیزی پروپیدیوم یید (PI) و انجام فلوسیتومتری تعیین و مقایسه گردید. همچنین در کشت سلول‌های پاساز سوم با اعمال محرومیت سرم و افزودن TNF- α آپوپتوزیس القا شد و همزمان کشت سلولی با غلظت‌های یادشده لیتیوم تیمار شد. میزان آپوپتوزیس بعد از ۴۸، ۲۴ و ۷۲ ساعت با استفاده از رنگ‌آمیزی آکریدین اورنج و اتیدیوم برداشته و بررسی شد.

یافته‌ها. پراکنش فلوسیتومتریک سلول‌های مرده و زنده پس از رنگ‌آمیزی با PI نشان داد که تیمار سلول‌ها با غلظت‌های مختلف لیتیوم سبب افزایش تعداد سلول‌های زنده شده است. از این نظر بیشترین تعداد سلول زنده در گروه ۵ میلی مولار بود ($p < 0.05$). درصد سلول‌های آپوپتوزیک بعد از ۲۴ ساعت برای گروه‌های کنترل، ۲، ۵ و ۱۰ میلی مولار لیتیوم کلراید به ترتیب برابر با ۱۹/۳۴، ۱۳/۵۵ و ۵/۷۵ و ۱۰/۳۱ بود که با گذشت زمان (ساعت ۴۸ و ۷۲) تفاوت این درصدها بیشتر شد. از این نظر کمترین درصد سلول‌های آپوپتوزیک به گروه ۵ میلی مولار تعلق داشت ($p < 0.01$).

نتیجه‌گیری. لیتیوم کلراید به ویژه در غلظت ۵ میلی مولار به طور قابل توجهی میزان آپوپتوز القا شده در کشت سلول‌های بنیادی مزانشیمی را کاهش می‌دهد.

کلیدواژه‌ها: سلول‌های بنیادی مزانشیمی موش صحرایی، آپوپتوزیس، حذف سرم، TNF- α

اصلی را ایفا می‌کند چون دارای تعداد زیادی از پروتئین‌های Smac/DIABLO، Endo G، AIF و Htr/Omi و سیتوکروم C بوده و این فاکتورها بعد از ایجاد منفذ در غشاء میتوکندری که در اثر عملکرد پروتئین‌های پیش‌آپوپتوزی خانواده bcl-2 ایجاد می‌شود، آزاد می‌شوند. در انتهای مسیر، سیتوکروم C به کمک پروتئین Apaf-1 کمپلکس پروتئینی به نام آپوپتوزوم را ایجاد می‌کند که باعث فعال‌سازی کاسپاز ۹ شده و آپوپتوزیس شروع می‌شود [۱۵، ۱۶].

مسیرهای سیگنال‌دهی متفاوتی در کنترل مرگ‌سلولی نقش دارند. مسیر سیگنال‌دهی Wnt یکی از مسیرهای مهم در تمام جانوران پر سلولی است. این مسیر، بسیاری از خصوصیات سلولی از قبیل تعیین سرنوشت، تکثیر، تمایز، آپوپتوزیس و مهاجرت سلولی را کنترل می‌کند. این مسیر با مولکول‌های ترشحی Wnt شروع می‌شود که با اتصال به گیرنده خود در سطح غشا سبب مهار گلیکوزن‌ستراتزکیناز (GSK-3β) می‌شوند، که نتیجه آن فسفریله نشدن بتاکتین و تجمع آن در سیتوپلاسم است. بتاکتین وارد هسته شده و در آنجا با اتصال به فاکتورهای نسخه‌برداری TCF/LEF، ژن‌های هدف وابسته به Wnt را فعال می‌کند [۱۷].

بسیاری از مطالعات نشان داده است که کلریدلیتیوم تاثیرات مهاری بر GSK-3β داشته و در نتیجه تاثیراتی مشابه بر مولکول‌های ترشحی Wnt دارد [۱۸، ۱۹]. کلریدلیتیوم باعث حمایت سلول‌های عصبی در مقابل حملات پیش‌آپوپتوزی ناشی از محرومیت پتانسی [۲۰]، β -آمیلوئید [۲۱]، فنی‌توئین [۲۲] و پلی‌گلوتامین [۲۱] می‌شود. این ماده در سلول‌های اندوتیالی اورت باعث بیان و پایداری p53 شده و چرخه سلولی را در G₂/M متوقف می‌کند [۲۳]. کلریدلیتیوم در کلیه‌ها با فعل کردن Akt [۲۴] و در سلول‌های ماهیچه‌ای با کاهش فعالیت کاسپاز ۳ [۲۵] سبب مهار آپوپتوزیس و در بعضی از سلول‌ها از قبیل آدیپوسیت‌ها سبب بیان ژن‌های آنتی‌آپوپتوزی (IGF-I) می‌شود [۲۶]. همچنین اثرات بازدارنده‌گی کلریدلیتیوم در نورون‌های مخچه‌ای موش صحرایی نشان داده شده است [۲۷]. تاکنون هیچ‌گونه گزارشی مبنی بر تاثیر کلریدلیتیوم بر آپوپتوزیس سلول‌های بنیادی مزانشیمی ارایه نشده است. در مطالعه حاضر این موضوع مورد توجه قرار گرفته است. فرضیه این مطالعه این است که حضور لیتیوم در محیط کشت سبب افزایش تعداد سلول‌های زنده و کاهش وقوع آپوپتوزیس می‌شود. برای بررسی این موضوع سلول‌های مغز استخوان موش صحرایی در حضور غلظت‌های مختلف لیتیوم و کنترل (فاقد لیتیوم) کشت شده و در انتهای دوره کشت، گروه‌های مختلف از لحاظ تعداد سلول‌های زنده مقایسه گردیده‌اند. برای آزمون نقش حفاظتی لیتیوم در برابر وقوع آپوپتوزیس، کشت سلول‌های بنیادی مزانشیمی با محرومیت سرمی و افزودن TNF-α تحریک به آپوپتوز شده و با تیمار همزمان با لیتیوم، اثر آنتی‌آپوپتوزیک لیتیوم بررسی شده است.

مقدمه

سلول‌های بنیادی مزانشیمی، سلول‌های چندتوانی هستند که توانایی تمایز به دودمان‌های بافت همبند از جمله آدیپوسیت، کندروسیت و استئوسیت را دارند. این سلول‌ها قادرند برای مدت طولانی تقسیمات خودتجددی را ادامه داده و در عین حال توانایی تمایز را حفظ نمایند [۱، ۲]. وجود سلول‌های بنیادی مزانشیمی با ظرفیت تمایز به استخوان و دیگر سلول‌های بافت همبند برای اولین بار توسط Friedenstein (Friedenstein) عنوان شد. این محقق خصوصیاتی از جمله تشکیل درصد بسیار کمی از سلول‌های مغز استخوان، خاصیت تکثیر بالا در شبشه، قابلیت کلون‌زایی، تشکیل کلونی‌هایی با اشکال نامنظم و متراکم و حفظ توان تشکیل استخوان حتی پس از گذراندن پاسازهای متعدد را برای این سلول‌ها برشمرد [۳، ۴]. سلول‌های بنیادی مزانشیمی تاکنون از بافت‌های مختلفی از قبیل چربی [۵]، کبد [۶]، مایع آمنیوتیک [۷] و خون بندناه [۸] جدا شده‌اند. این سلول‌ها، به دلیل پتانسیل تکثیری بالا در محیط کشت، یکی از ابزارهای سلولی مورد توجه در مهندسی بافت، ژن‌درمانی و سلول درمانی محسوب می‌شوند [۹].

برخی مطالعات نشان داده است که سلول‌های بنیادی مزانشیمی پس از لانه‌گرینی در بافت آسیب‌دیده، سیتوکین‌ها و فاکتورهای تروفیک که اثرات مفیدی در ترمیم بافتی دارند، ترشح می‌کنند. این ویژگی سبب شده تا این سلول‌ها کاندید مناسبی برای عمل پیوند به منظور درمان بیماری‌های تخریبی مانند تحلیل عصبی به شمار آیند [۱۰، ۱۱]. اما یکی از مشکلات به کارگیری این سلول‌ها، وقوع مرگ‌سلولی به دنبال پیوند به ناحیه آسیب‌دیده است. در این ارتباط، تحقیقات مگنی (Magni) و همکاران نشان داده است که حدود ۷۰٪ سلول‌های بنیادی مزانشیمی تزریق شده به ناحیه مزید بطن چپ ایسکمیک موش صحرایی طی ۲۴ ساعت به واسطه آپوپتوزیس از بین می‌روند [۱۲]. همچنین گنگ (Geng) گزارش کرده است که بیش از ۹۰٪ سلول‌های بنیادی مزانشیمی تزریق شده به بطن چپ موش بالغ طی ۴ روز بعد از تزریق دچار مرگ می‌گردند [۱۳]. با توجه به این موارد به نظر می‌رسد که حمایت سلول‌های بنیادی مزانشیمی در برابر آپوپتوزیس برای درمان موقوفیت‌آمیز ضایعات بافتی امری حیاتی است [۱۴].

به طور کلی دو مسیر عمومی برای القای آپوپتوزیس وجود دارد. مسیر خارجی آپوپتوزیس با اتصال لیگاندهای مرگ به گیرندهای غشایی فعل می‌شود و نتیجه نهایی آن فعل شدن کاسپاز ۸ و شروع آپوپتوزیس است. مسیر داخل سلولی را که مرگ سلولی غیرفعال نیز می‌گویند، در نتیجه از دست رفتن محرك‌های بقا ایجاد می‌شود که اشاره بر این دارد که بسیاری از سلول‌ها برای مرگ برنامه‌ریزی شده‌اند، مگر این‌که از طریق محرك‌های بقا حفاظت شوند. در مسیر داخلی آپوپتوزیس، میتوکندری نقش

مواد و روش‌ها

رنگ‌آمیزی بروپیدیوم‌یدید و انجام فلوسایتومتری

از خاصیت نفوذپذیر شدن غشای سلول‌های مرده می‌توان برای تعیین تعداد سلول‌های مرده و زنده استفاده کرد. در رنگ‌آمیزی با محلول فلورستن PI، از این خاصیت استفاده می‌شود و هسته سلول‌های مرده رنگ‌آمیزی می‌گردد [۲۹]. در این مطالعه از این رنگ‌آمیزی برای تعیین تعداد سلول‌های مرده کشت گروه‌های مختلف استفاده شد. برای این منظور، سلول‌های پاساژ سوم از کشت یکنواخت‌شده (Confluent) گروه‌های تیمار با لیتیوم کلراید و گروه کنترل با تریپسینه کردن جدا و تحت ۵۰۰ g به مدت ۵ دقیقه در دمای اتاق سانتریفیوز شدند. سپس سلول‌ها با PBS سرد شسته و در ۱۰۰ میکرولیتر بافر PI که شامل ۲% BSA و آزید سدیم ۱% بود (همگی محصول Sigma آلات متعدد)، معلق شدند. آنگاه ۱۰ میکرولیتر از محلول PI به سوسپانسیون سلولی اضافه شد و محلول حاصل به مدت ۵ دقیقه در تاریکی قرار گرفت. پس از آن، ۱ میلی‌لیتر از بافر PI اضافه شد و برای بررسی با فلوسایتومتری به بخش مربوطه منتقل گردید.

القای آپوپتوزیس

در این مطالعه از سلول‌های پاساژ سوم برای بررسی آپوپتوزیس استفاده شد. سلول‌های پاساژ سوم که در غلظت‌های ۲، ۵ و ۱۰ میلی‌مولار لیتیوم کلراید کشت شده بودند، تریپسینه شده و شمارش گردیدند. تعداد ۳۰۰ هزار سلول در هر چاهک پلیت عچاهکی در محیط DMEM حاوی ۱۰% سرم گاوی کشت داده شدند. بعد از ۲۴ ساعت، محیط کشت سلول‌ها خارج گردید، سلول‌ها با محیط فاقد سرم شست و شو شدند و محیط فاقد سرم (TNF- α ; Sigma, USA) به کشت سلول‌ها اضافه شد [۳۰، ۳۱]. همزمان با القا آپوپتوزیس، سلول‌ها با غلظت‌های ۲، ۵ و ۱۰ میلی‌مولار لیتیوم کلراید تیمار شدند. گروه بدون لیتیوم به عنوان کنترل در نظر گرفته شد. میزان آپوپتوزیس بعد از ۴۸، ۷۲ و ۲۴ ساعت با استفاده از رنگ‌آمیزی آکریدین اورنج و اتیدیوم بروماید بررسی شد.

رنگ‌آمیزی آکریدین اورنج

به طور خلاصه، سلول‌ها با استفاده از Trypsin/EDTA از کف چاهک جداسازی شده، به مدت ۵ دقیقه در دمای اتاق در ۱۴۰ rpm سانتریفیوز شدند. سپس سلول‌ها با PBS سرد شسته شده و در ۱۰۰ میکرولیتر از محیط DMEM حاوی ۱۵% سرم گاوی معلق شدند. ۱۰ میکرولیتر مخلوط رنگ آکریدین اورنج/اتیدیوم بروماید (AO/EB) (شامل مقدار مساوی ml/ug از هر کدام) به سوسپانسیون سلولی اضافه گردید. ۵ میکرولیتر از

جداسازی و کشت سلول‌های بنیادی مزانشیمی مغز استخوان هشت سر موش صحرایی نژاد ویستار با سن تقریبی ۸ هفت‌هه با کلروفرم بیهوده شدند. استخوان‌های ران و ساق آنها جدا شده و از بافت‌های پیوندی اطراف استخوان‌ها به طور کامل پاک گردید. روش جداسازی بر اساس روش لنون (Lennon) و همکاران (با اندکی تغییر) انجام گرفت [۲۸]. ابتدا استخوان‌ها در محیط کشت (Gibco, FBS ۱۵% سرم Gibco, UK) DMEM (UK) در دمای ۴°C سانتی‌گراد قرار گرفته، به زیر هود منتقل شدند. دو سر استخوان‌ها با قیچی استریل قطع گردید و مغز استخوان با عمل فلاشینگ خارج شد. بدین ترتیب که ابتدا سرسوزن شماره ۲۲ متصل به سرنگ حاوی محیط DMEM دارای ۱۵% سرم FBS، ۱۰۰ واحد بین‌المللی پنی‌سیلین (Gibco, UK) و ۱۰۰ واحد بین‌المللی استرپتومایسین (Gibco, UK) از سر استخوان وارد کانال استخوانی شد. سپس با فشار پیستون، محیط داخل سرنگ به داخل کانال استخوانی هدایت شد، به طوری که با این عمل، مغز استخوان شست و شو شده و از سر دیگر استخوان خارج گردید. مغز استخوان به داخل دو لوله ۱۵ میلی‌لیتری حاوی محیط کامل (DMEM دارای ۱۰% FBS) هدایت شد و به مدت ۵ دقیقه در ۱۲۰۰ rpm سانتریفیوز شد. سپس محیط رویی خارج و رسوپ سلولی در ۱ میلی‌لیتر محیط تازه معلق گردید. سلول‌ها با استفاده از لام نئوبار شمارش شدند و به تعداد ۵×۵ سلول در سانتی‌مترمربع در چهار فلاسک ۲۵ سانتی‌مترمربع کشت و در انکوباتور CO₂ دار (۳۷°C، ۹۵% O₂, ۵% CO₂) انکوبه شدند. دو روز پس از آغاز کشت، محیط رویی که دارای سلول‌های غیرچسبنده بود، خارج شده و سلول‌ها با محیط کامل شست و شو شدند و محیط تازه حاوی غلظت‌های ۲، ۵ و ۱۰ میلی‌مولار لیتیوم کلراید به سلول‌ها اضافه شد (سلول‌های یک فلاسک به عنوان کنترل انتخاب شده و لیتیوم دریافت نکردند). تجویض محیط هر ۳ روز یکبار به مدت ۱۲ تراپسین/EDTA روز انجام شد. سپس سلول‌ها با استفاده از Trypsin/EDTA از کف فلاسک‌ها جدا شده و به نسبت ۳:۱ در فلاسک‌های ۲۵ سانتی‌متر مربعی باسازی شده و به تاثیر ۳ ساعت تحت شرایط محدودی حاوی لیتیوم کلراید با غلظت‌های یادشده کشت شدند. در پایان دوره کشت، سلول‌های حاصل از لحاظ تعداد سلول‌های مرده و زنده با روش رنگ‌آمیزی بروپیدیوم یدید (PI) بررسی شدند. همچنین در کشت این سلول‌ها، با استفاده از حذف سرم شدن. آنچنین در کشت این سلول‌ها، با استفاده از حذف سرم گاوی و افزودن TNF- α آپوپتوزیس القا شد و همزمان، تیمار با لیتیوم کلراید (غلظت‌های ۲، ۵ و ۱۰ میلی‌مولار) انجام شد. کشت گروه‌های مختلف پس از ۲۴، ۴۸ و ۷۲ ساعت، از لحاظ تعداد سلول‌های آپوپوتیک مورد بررسی قرار گرفت.

از روی RNA حاصل ساخته شد و سپس PCR در حجم ۲۵ میکرولیتر با dNTPs (Fermentas) به حجم ۱۰ میکرولیتر (۲۰۰ نانومولار)، MgCl₂ به حجم ۳ میکرولیتر (۱/۵ میلیمولار) و آنزیم cDNA Synthesis (Fermentas) به حجم ۲/۵ میکرولیتر و ۱۰۰ پیکومول از پرایمرهای ژن‌های اختصاصی بافت استخوان شامل استئوکلسین و آلکالین فسفاتاز (ALP) بافت چربی شامل PPAR- α و PPAR- γ انجام شد. پرایمرهای مورد استفاده به همراه دمای جفت‌شدن هر کدام، در جدول ۱ نشان داده است.

جدول ۱) توالی پرایمرهای مورد استفاده

نام ژن	توالی پرایمر	پنهانی دمای باند اتصال bp
ALP	F: 5'-CGGACCCCTGCCTTA CCAACTCATTGTGC-3' R: 5'-CGCACGCGATG CAACACCACCTCAGG-3'	۷۲ ۳۹۶
Osteocalcin	F: 5'-GATTATA GTGACACAGAC-3' R: 5'-AGCAGGA ATACTAACTGC-3'	۵۶ ۲۸۷
GAPDH	F: 5'-TGCTGAGTA TGTGGTGGAGTC-3' R: 5'-AAAGGTGG AAGAATGGGAG-3'	۵۳ ۶۱۲
PPAR- α	F: 5'-CCCTGCCTTC CCTGTGAACTGAC-3' R: 5'-GGGACTCATCT GTACTGGTGGGGAC-3'	۷۰ ۳۶۳
PPAR- γ	F: 5'-GGTGAAA CTCTGGGAGATCC-3' R: 5'-TGAGGGAG TTTGAAGACTCTTC-3'	۵۷ ۴۰۰

نتایج

تمایز

بر اساس نتایج رنگ‌آمیزی‌های اختصاصی انجام شده، ماتریکس معدنی ایجاد شده در کشت تمایز به استخوان، به وسیله قرمز آلیزارین به رنگ قرمز در آمده (شکل ۱) و دانه‌های چربی ایجاد شده در کشت تمایز به چربی نیز به وسیله قرمز اویل، قرمز رنگ شده بود (شکل ۲). بررسی‌های RT-PCR نشان‌دهنده بیان ژن‌های استئوکلسین و آلکالین فسفاتاز در کشت استئوژنیک تمام گروه‌ها (شکل ۱) و ژن‌های PPAR- α و PPAR- γ در کشت آدیبوژنیک تمام گروه‌های تیمار و کنترل بود (شکل ۲). ژن گلیسرآلدهید-۳-فسفات‌دهیدروژنаз (GAPDH) به عنوان "خانه‌دار" در کشت‌های تمایزی بیان شده است. در مجموع تمایز به استخوان و چربی نشان‌دهنده هویت مزانشیمی سلول‌های مورد مطالعه بود.

سوسپانسیون سلولی بر روی لام منتقل و با میکروسکوپ فلورسنت بررسی شد [۳۲، ۳۳]. از هر نمونه ۱۰ عکس گرفته و تعداد سلول‌های آپوپتویک و زنده شمارش شد.

آنالیزهای آماری

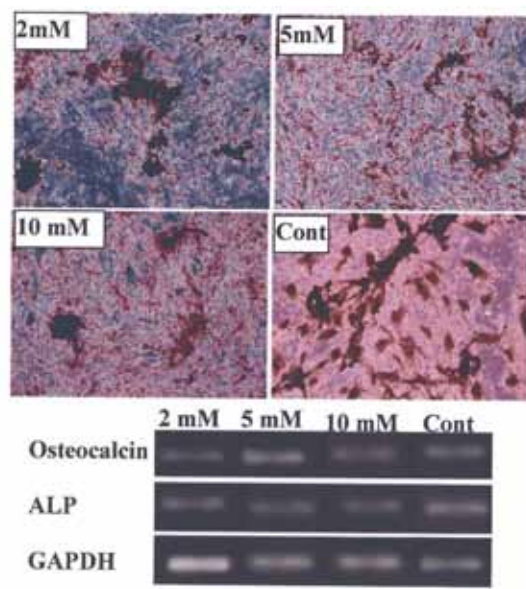
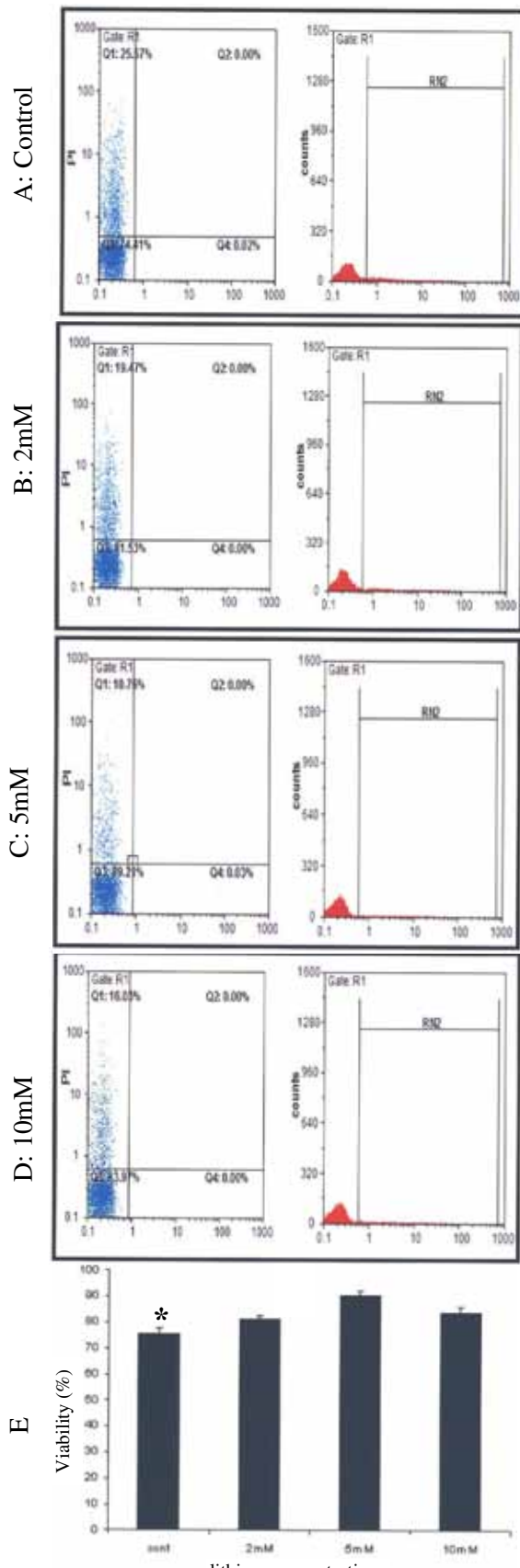
در مطالعه حاضر آزمون آماری ANOVA برای مقایسه نتایج استفاده شد. نتایج به دست آمده، حاصل میانگین ۸ بار تکرار آزمایش بود. داده‌ها به صورت "میانگین±انحراف از استاندارد" (SD) بیان شدند. $p < 0.05$ معنی‌دار در نظر گرفته شد.

تمایز به استخوان و چربی

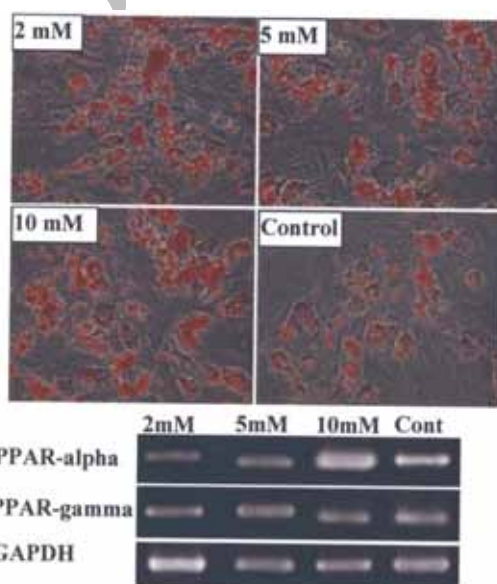
برای اثبات ماهیت مزانشیمی سلول‌های مورد مطالعه، از آزمایش تمایز به استخوان و چربی استفاده شد. به این منظور از کشت یکنواخت‌شده سلول‌های پاساژ سوم که تحت تاثیر غلظت‌های ۲، ۵ و ۱۰ میلی‌مولار لیتیوم کلراید و محیط فاقد لیتیوم کلراید قرار گرفته بودند استفاده شد. محیط تمایز به استخوان شامل DMEM حاوی ۵۰ میکروگرم در میلی‌لیتر آسکوربیک اسید-۳-فسفات (Sigma, USA) و ۱۰ میلی‌مولار بتاگلیسرولفسفات (Sigma, USA) بود. در محیط تمایز به چربی، DMEM حاوی ۵۰ میکروگرم در میلی‌لیتر آسکوربیک اسید-۳-فسفات، ۱۰۰ نانومولار دگراماتazon (Sigma, USA) و ۵۰ میکروگرم در میلی‌لیتر ایندوماتسین (Sigma, USA) وجود داشت [۳۴، ۳۵]. ارزیابی تمایز، سه هفتۀ بعد از القا انجام شد. بدین منظور از رنگ‌آمیزی قرمز آلیزارین برای استخوان و از رنگ‌آمیزی قرمز اویل برای چربی استفاده شد. همچنین برای بررسی بیان ژن‌های ویژه استخوان و چربی از RT-PCR استفاده شد. به منظور رنگ‌آمیزی قرمز آلیزارین، تک‌لایه سلولی با PBS شسته شده و به مدت ۱۰ دقیقه با متانول (Merck, Germany) فیکس شد و سپس رنگ‌آمیزی با محلول رنگی (۱٪ قرمز آلیزارین در آب آمونیاکی Sigma, USA) به مدت ۲ دقیقه انجام شد [۳۴، ۳۵]. در ادامه سلول‌ها با آب مقطر شسته شدند و پس از خشک شدن با میکروسکوپ معکوس مشاهده شدند. برای رنگ‌آمیزی قرمز اویل، سلول‌ها به مدت یک ساعت در دمای اتاق با فرمالین ۴٪ فیکس و سپس با الکل ایزوپروپانول محلول ۱۵-۱۰٪ قرمز اویل و ۹۹٪ الکل ایزوپروپانول (Sigma, USA) رنگ‌آمیزی شدند و در انتهای محلول رنگی حذف شده و سه بار با الکل ۷۰٪ شسته شو و با میکروسکوپ مشاهده شد.

RT-PCR

در روش RT-PCR، پس از لیز نمودن سلول‌ها به کمک محلول CinaGen Inc., Iran RNAX Revert AidTM H⁻ First Strand با استفاده از کیت



شکل ۱) رنگآمیزی قرمz آلیزارین برای بررسی بیان ژن‌های اختصاصی سلول‌های استخوانی ۲۱ روز پس از آغاز تمایز در محیط استوچنیک



شکل ۲) رنگآمیزی قرمz اوبل برای بررسی بیان ژن‌های اختصاصی سلول‌های چربی، ۲۱ روز پس از آغاز تمایز در محیط آدیپوژنیک

شکل ۳) پراکنش فلوسايتومتریک سلول‌های زنده و مرده با استفاده از PI درصد سلول‌های زنده در گروه کنترل و گروههای ۲، ۵ و ۱۰ میلی‌مolar کلرید لیتیوم به ترتیب در شکل‌های A، B، C، D نشان داده شده است. شکل E نمایانگر میانگین درصد سلول‌های زنده در گروههای مختلف تیمار و کنترل است (SD). (Mean values \pm SD)

* نشانگر درصد پایین سلول‌های زنده گروه کنترل در مقایسه با گروههای تیمار است ($p<0.05$).

بررسی حیات سلولی با استفاده از رنگآمیزی پروپیدیوم یدید پراکنش فلوسايتومتریک سلول‌های مرده و زنده بعد از رنگآمیزی سلول‌ها با PI نشان داد که تیمار سلول‌ها در غلظت‌های مختلف لیتیوم می‌تواند بر حیات سلول‌ها در مقایسه با نمونه کنترل تاثیر بگذارد. میانگین درصد سلول‌های زنده از ۸ تکرار در گروههای ۲، ۵ و ۱۰ میلی‌مolar لیتیوم به ترتیب $84/21\pm 1/203$ ، $81/32\pm 1/251$ ، $90/65\pm 1/707$ و $75/91\pm 1/63$ گزارش شد. که این میزان در گروه کنترل $75/91\pm 1/63$ تفاوت بین گروههای تیمار و کنترل از لحاظ آماری معنی‌دار بود ($p<0.05$).

اولین بررسی ۲۴ ساعت بعد از القای آپوپتوزیس انجام شد که نشان دهنده کمترین تعداد سلول‌های آپوپتویک در گروه ۵ میلی‌مولار بود. میزان پیشرفت آپوپتوز ۴۸ ساعت و ۷۲ ساعت بعد از تیمار نیز مورد ارزیابی قرار گرفت. چنانچه در جدول ۲ مشاهده می‌شود، با گذشت زمان و افزایش این درصد، تفاوت‌ها عمیق‌تر شد. از این نظر کمترین درصد سلول‌های آپوپتویک به گروه ۵ میلی‌مولار تعلق داشت ($p < 0.001$) (جدول ۲). تفاوت گروه ۲ میلی‌مولار و ۱۰ میلی‌مولار لیتیوم، بعد از ۴۸ ساعت معنی‌دار نبود.

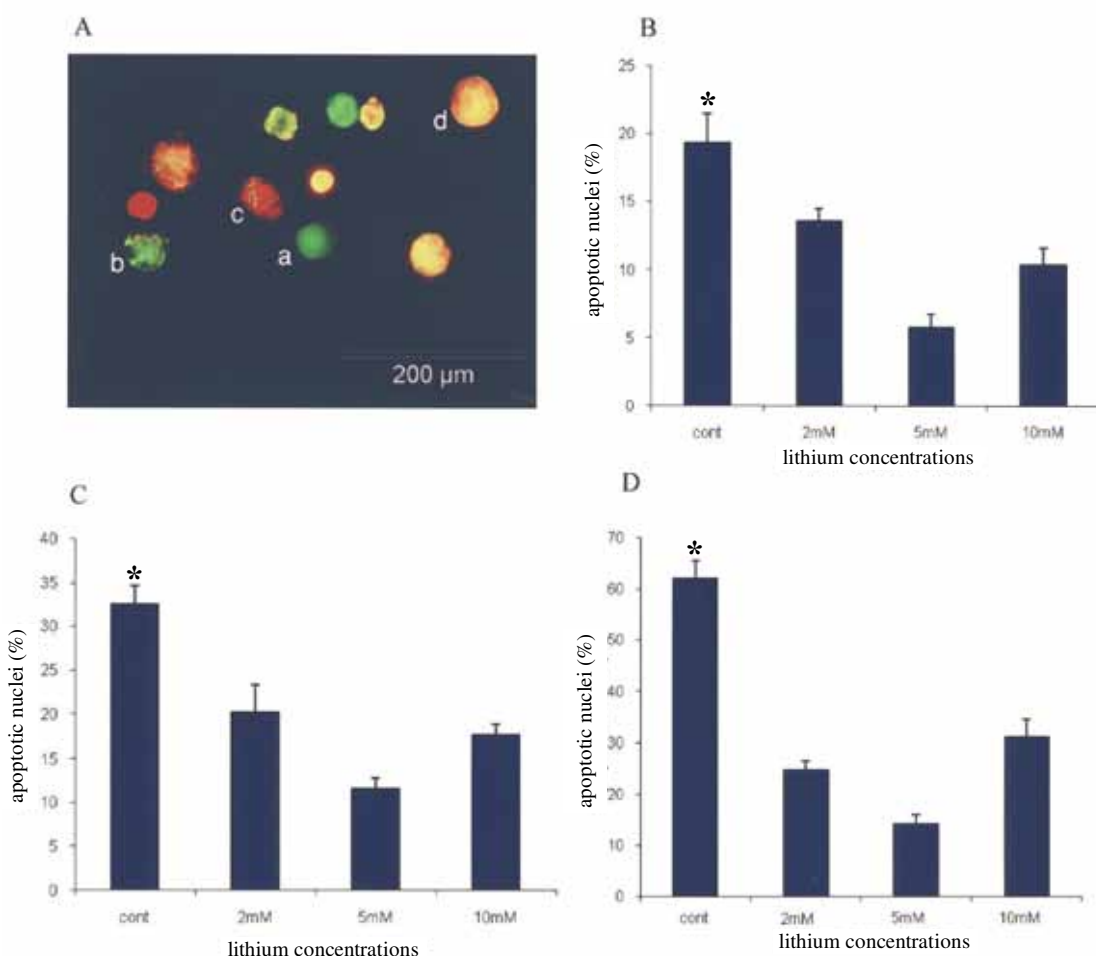
جدول ۲) میانگین درصد سلول‌های آپوپتویک

زمان بعد از تیمار	۱۰ میلی‌مولار	۵ میلی‌مولار	۲ میلی‌مولار	کنترل	
۲۴ ساعت	۱۹/۳۴	۱۳/۵۵	۵/۷۵	۱۰/۳۱	
۴۸ ساعت	۳۲/۵۳	۲۰/۲۳	۱۱/۵۸	۱۷/۶۳	
۷۲ ساعت	۶۲/۰۹	۲۴/۷۵	۱۴/۲۲	۳۱/۰۴	

آپوپتوزیس سلول‌های بنیادی مزانشیمی

آکریدین اورنج به طور طبیعی از هر نوع غشایی عبور کرده و هسته‌ها را به رنگ سبز رنگ‌آمیزی می‌کند. هسته سلول‌های زنده فاقد هرگونه فشردگی و هسته‌های آپوپتوزی دارای فشردگی‌ها و بریدگی‌هایی هستند. اتیدیوم بروماید تنها از غشاهایی که مجرح باشند عبور می‌کند و در حالت طبیعی نمی‌تواند از غشا سلولی عبور کند. اتیدیوم بروماید هسته را به رنگ نارنجی در می‌آورد و اگر هسته‌ها دارای فشردگی و قطعه‌قطعه‌شدگی باشند، بیانگر مراحل آخر آپوپتوزیس است. در صورتی که هسته متورم بوده و رنگ اتیدیوم بروماید را به خود گرفته باشد، سلول دچار نکروزیس شده است.

نتایج بدست‌آمده از بررسی آپوپتوزیس با استفاده از رنگ‌آمیزی همزمان با آکریدین اورنج و اتیدیوم بروماید نشان داد که القای آپوپتوزیس با استفاده از محرومیت سرم و به‌کارگیری $\text{TNF}-\alpha$ می‌تواند به‌وسیله تیمار همزمان با غلظت‌های مناسب لیتیوم، تا حدی کنترل شده و کاهش یابد (شکل ۴).



شکل ۴) میانگین درصد سلول‌های آپوپتویک بعد از القای آپوپتوزیس به‌وسیله محرومیت سرم و به‌کارگیری $\text{TNF}\alpha$. سلول‌ها همزمان با القای آپوپتوزیس با غلظت‌های ۲، ۵ و ۱۰ میلی‌مولار لیتیوم به‌وسیله تیمار شدند. (A) هسته سلول‌های آپوپتویک با استفاده از رنگ‌آمیزی آکریدین اورنج و اتیدیوم بروماید مورد ارزیابی قرار گرفتند.

(a) سلول زنده، (b) سلول در مراحل ابتدایی آپوپتوزیس، (c) سلول در مراحل انتهایی آپوپتوزیس و (d) سلول نکروتیک است. نمودارهای B، C و D میزان وقوع آپوپتوزیس را به ترتیب بعد از ۲۴، ۴۸ و ۷۲ ساعت نشان می‌دهند.

* در نمودارها نشانگر این است که در هر سه غلظت لیتیوم، تعداد سلول‌های آپوپتویک به‌طور معنی‌داری کمتر از گروه کنترل است ($p < 0.001$).

بحث

سیگنال دهی را با کارآبی بالا فعال نمایند. به هر حال این موضوع به مطالعه بیشتری نیاز دارد.

آپوپتوزیس می‌تواند از طریق مسیرهای داخلی و خارجی القا شود [۱۵]. ما در این مطالعه با به کارگیری TNF- α و حذف سرم (فاکتورهای بقا) مسیرهای داخلی و خارجی را به طور همزمان فعال کردیم، القای همزمان از طریق دو مسیر می‌تواند سبب القای موثرتر و مطمئن‌تر آپوپتوزیس شود. برای بررسی آپوپتوزیس از رنگ‌آمیزی همزمان آگریدین اورنج و اتیدیوم بروماید استفاده شد که روشی سریع و مناسب برای بررسی آپوپتوزیس است. زیرا در این روش شناسایی سلول‌های زنده، سلول‌های آپوپتوتیک (در مراحل ابتدایی و انتهایی آپوپتوزیس) و سلول‌های نکروتیک بر اساس رنگ و مورفوЛОژی هسته بدهارتی امکان‌پذیر است [۳۲، ۳۳]. بر اساس نتایج، تیمار با کلرید لیتیوم قادر است از آپوپتوز سلول‌های بنیادی مزانشیمی تا حد زیادی ممانعت کند. حال اینکه درک تفاوت نقش حفاظتی کلراید لیتیوم در مقابل آپوپتوز القا شده از مسیر داخلی با نقش حفاظتی آن در مقابل آپوپتوز القا شده از مسیر خارجی به مطالعه بیشتری نیاز دارد.

تاکنون هیچ گزارشی مبنی بر دخالت مسیر سیگنال دهی Wnt بر آپوپتوزیس سلول‌های بنیادی مزانشیمی ارایه نشده است. اما گزارشات متعددی مبنی بر نقش این مسیر در مهار آپوپتوزیس در سلول‌های مختلف وجود دارد [۲۶، ۲۱]. بر اساس نتایج به دست آمده، کمترین میزان آپوپتوزیس در غلظت ۵ میلی‌مولار لیتیوم مشاهده شد و با افزایش غلظت مهار آپوپتوزیس کاهش یافت. همچنین با پیشرفت زمان تعداد سلول‌های آپوپتوتیک افزایش یافت و تفاوت‌ها عمیق‌تر شد، البته علت این امر می‌تواند ناشی از افزایش استرس در شرایط آپوپتوتیک باشد. در این پژوهش به طور مستقیم، نحوه عملکرد مسیر Wnt در مهار آپوپتوزیس مورد بررسی قرار نگرفت که البته این موضوع سزاوار مطالعه بیشتر است.

در تحقیق حاضر علاوه بر القای آپوپتوزیس در کشت سلول‌های بنیادی مزانشیمی و مطالعه تاثیر کلراید لیتیوم بر مهار آپوپتوزیس در این کشت که هدف اصلی مطالعه بود، تاثیرات کلراید لیتیوم بر تعداد سلول‌های زنده در کشت نیز مورد توجه قرار گرفت؛ بدین ترتیب که سلول‌های بنیادی مزانشیمی که در حضور کلراید لیتیوم از کشت اولیه تا پاساژ سوم تکثیر شده بودند با روش رنگ‌آمیزی PI مورد بررسی قرار گرفتند. نتایج یافته‌های فلوسایتمتریک نشان داد که میزان سلول‌های زنده در گروههای تیمار با کلراید لیتیوم بیش از کنترل است و از این نظر، گروه ۵ میلی‌مولار لیتیوم وضعیت بهتری داشت. این نتایج نشان می‌دهد که حضور لیتیوم در محیط کشت با جلوگیری از مرگ سلولی سبب افزایش تعداد سلول‌های زنده می‌گردد.

در تحقیق حاضر، سلول‌های بنیادی مزانشیمی از مغز استخوان موش صحرایی در حضور غلظت‌های متفاوتی از کلراید لیتیوم و محیط بدون لیتیوم جداسازی و تکثیر شد. بررسی‌ها نشان داد که در کشت سلول‌های تیمارشده با کلراید لیتیوم تعداد سلول‌های زنده بیش از تعداد آنها در کشت بدون حضور کلراید لیتیوم است. به علاوه نکته مهم آن بود که سلول‌های کشت تیمارشده با کلراید لیتیوم در برابر القای تجربی آپوپتوزیس مقاومت نشان دادند، به طوری که تعداد سلول‌های آپوپتوتیک در این نوع کشت‌ها به طور معنی‌داری کمتر از گروه کنترل بود. این نتایج نشان‌دهنده تاثیرات آنتی‌آپوپتوتیک کلراید لیتیوم بر کشت سلول‌های بنیادی مزانشیمی است. اهمیت این یافته به این است که در تحقیقات پیشین نشان داده شده است که به دنبال پیوند سلول‌های بنیادی مزانشیمی حدود ۷۰٪ سلول‌ها به دلیل آپوپتوزیس از بین می‌روند [۱۲]. بنابراین یافتن راه جلوگیری از آپوپتوزیس سلولی که موضوع مورد مطالعه تحقیق حاضر بود، امری ضروری به نظر می‌رسد.

در مطالعه‌ای، نوناکا (Nonaka) و همکاران نشان دادند که کلراید لیتیوم در مقابل تاثیرات آپوپتوتیک فنی تؤین و کاریامازپین از سلول‌های گرانول مغزی موش صحرایی محافظت می‌کند. یافته‌های آنها نشان داد که این تاثیرات کلراید لیتیوم در غلظت‌های ۱ تا ۱۰ میلی‌مولار اتفاق می‌افتد [۲۲]. در تحقیق مشابهی، جوردا (Jorda) و همکاران دریافتند که کلراید لیتیوم قادر است از تاثیرات آپوپتوتیک کلشی‌سین در سلول‌های گرانول مغزی موش صحرایی ممانعت کند. یافته‌های این محققین نیز حاکی از این بود که کلراید لیتیوم در غلظت‌های ۱ تا ۵ میلی‌مولار این تاثیرات را دارد [۲۸]. با توجه به این مطالعات در تحقیق حاضر برخی غلظت‌های واقع در دامنه ۱ تا ۱۰ میلی‌مولار شامل غلظت‌های ۲، ۵ و ۱۰ میلی‌مولار انتخاب شد و تاثیرات آنتی‌آپوپتوتیک آنها مورد بررسی قرار گرفت. یافته‌ها نشان‌دهنده این بود که غلظت ۵ میلی‌مولار به طور معنی‌داری بیش از غلظت‌های ۲ و ۱۰ میلی‌مولار تاثیرات آنتی‌آپوپتوتیک دارد.

شاید علت تاثیرات آنتی‌آپوپتوتیک بیشتر غلظت ۵ میلی‌مولار کلراید لیتیوم، تداخل مسیرهای سیگنال دهی مختلف باشد. بدین معنی که احتمال دارد در غلظت‌های ۲ و ۱۰ میلی‌مولار کلراید لیتیوم، مسیرهای دیگری غیر از مسیر Wnt فعال شوند و تداخل آنها با مسیر Wnt سبب کاهش تاثیرات آنتی‌آپوپتوتیک گردد. توجیه دیگری این است که شاید برای فعال شدن موثر مسیر Wnt غلظت خاص و معینی از کلراید لیتیوم لازم است به طوری که غلظت‌های بالا و پایین این غلظت ویژه قادر نیستند مسیر

- 10- Hofstetter CP, Schwarz EJ, Hess D, Widenfalk J, El Manira A, Prockop DJ, et al. Marrow stromal cells form guiding strands in injured spinal cord and recovery. *Proc Natl Acad Sci USA.* 2002;99:2199-204.
- 11- Mahmood A, Lu D, Chopp M. Intravenous administration of marrow stromal cells (MSCs) increases the expression of growth factors in rat brain after traumatic brain injury. *J Neurotrauma.* 2004;21:33-9.
- 12- Mangi AA, Noiseux N, Kong D, He H, Rezvani M, Ingwall JS, et al. Mesenchymal stem cells modified with Akt prevent remodeling and restore of infarcted hearts. *Nature medicine.* 2003;9:1195-201.
- 13- Geng YJ. molecular mechanisms for cardiovascular stem cell apoptosis and growth in the hearts with atherosclerotic coronary disease and ischemic heart failure. *Ann NY Acad Sci.* 2003;1010:687-97.
- 14- Zhang M, Method D, Poppa V, Fujio Y, Walsh K, Murry CE. Cardiomyocyte grafting for cardiac repair: graft cell death and anti-death strategies. *J Mol Cell Cardiol.* 2001;33:907-21.
- 15- Sartorius U, Schmitz I, Krammer PH. Molecular mechanisms of death-receptor-mediated apoptosis. *Chembiochem.* 2001;2:20-9.
- 16- Salvesen GS, Renatus M. Apoptosome: the seven-spoked death machine. *Dev Cell.* 2002;2:256-7.
- 17- Stefan H, Claire LK. Wnt signalling: variety at the core. *Jurnal of cell science.* 2007;120:385-93.
- 18- Stambolic V, Ruel L, Woodgett JR. Lithium inhibits glycogen synthase kinase-3 activity and mimics wingless signalling in intact cells. *Curr Bio.* 1996;6:1664-8.
- 19- Todd DG, Husseini KM. Glycogen synthase kinase-3: a putative molecular target for lithium mimetic drugs. *Neuropharmacology.* 2005;30:1223-37.
- 20- Mora A, Sabio G, Gonzalez-Polo RA, Cuenda A, Alessi DR, Alonso JC, et al. Lithium inhibits caspase-3 activation and dephosphorylation of PKB and GSK3 induced by K⁺ deprivation in cerebellar granule cells. *J Neurochem.* 2001;78:199-206.
- 21- Carmichael J, Sugars KL, Bao YP, Rubinsztein DC. Glycogen Synthase Kinase-3β Inhibitors Prevent Cellular Polyglutamine Toxicity Caused by the Huntington's Disease Mutation. *J Biol Chem.* 2002 Sep 13;277(37):33791-8.
- 22- Nonaka S, Katsume N, Chuang DM. Lithium protects rat cerebellar granule cells against apoptosis induced by anticonvulsants, phenytoin and carbamazepine. *J Pharm Exp Therap.* 1998;286:539-47.
- 23- Mao CD, Hoang P, DiCorleto PE. Lithium Inhibits Cell Cycle Progression and Induces Stabilization of p53 in Bovine Aortic Endothelial Cells. *J Biol Chem.* 2001;276:26180-8.
- 24- Sinha D, Wang Z, Ruchalski KL, Levine JS, Krishnan S, Lieberthal W, et al. Lithium activates the Wnt and phosphatidylinositol 3-kinase Akt signaling pathways to promote cell survival in the absence of soluble survival factors. *Am J Physiol Renal Physiol.* 2005;288:F703-F713.
- 25- Kuemmerle JF. Endogenous IGF-1 protect human intestinal smooth muscle cells from apoptosis by regulation of GSK3 activity. *Am J Physiol Gastrointest Liver Physiol.* 2005;288:G101-G110.
- 26- Longo KA, Kennell JA, Ochociska MJ, Ross ES. Wnt signaling protects 3T3-L1 preadipocytes from apoptosis through induction of insulin-like growth factor. *J Biol Chem.* 2002;277:38239-44.
- 27- Jorda EG, Verdaguer E, Morano A, Jimenez A, Canudas AM, Camins A, et al. Lithium prevents colchicines-induced apoptosis in rat cerebellar granule neurons. *Bipolar Disorder.* 2004;6:144-9.

اگرچه تلاش‌های زیادی در جهت شناسایی مارکرهای سطحی سلول‌های بنیادی مزانشیمی انجام شده اما مارکر ویژه منفردی معرفی نشده است. در این ارتباط چندین مارکر از جمله (Low Affinity LNGFR, CD133, STRO-1 و Nerve Growth Factor Receptor) برای سلول‌های بنیادی مزانشیمی انسانی پیشنهاد شده است ولی برای سلول‌های بنیادی مزانشیمی حیوانی مارکر اختصاصی ذکر نشده است [۳۶، ۳۸]. به همین دلیل در مطالعات پیشین از توان تمایز سلولی برای ارزیابی بنیادی مزانشیمی استفاده شده است [۳۳، ۴۱]. در این مطالعه نیز با تمایز سلول‌های جدا شده به رده‌های استخوان و چربی ماهیت بنیادی مزانشیمی آنها به اثبات رسید.

نتیجه‌گیری

به نظر می‌رسد که لیتیوم به ویژه با غلظت ۵ میلی‌مولار، از سلول‌های بنیادی مزانشیمی در محیط کشت در مقابل آپوپتوزیس القایی به‌وسیله حذف سرم و افزودن TNF-α محافظت می‌کند. به علاوه، کشت سلول‌های بنیادی مزانشیمی تکثیرشده در حضور کلرید لیتیوم، بیش از گروه کنترل (فاقد کلرید لیتیوم) حاوی سلول‌های زنده است.

منابع

- 1- Majumdar MK, Thiede MA, Mosa JD, Moorman M, Gerson SL. Phenotypic and functional comparison of cultures of marrow-derived mesenchymal stem cells (MSCs) and stromal cells. *J Cell Physiol.* 1998;176:57-66.
- 2- Pittenger MF, Mackay AM, Beck SC, Jaiswal RK, Douglas R, Mosca JD, et al. Multilineage potential of adult human mesenchymal stem cells. *Science.* 1999;248:143-7.
- 3- Friedenstein AJ, Deriglasova UF, Kulagina NN, Panasuk AF, Rudakowa SF, Luria EA, et al. Precursors for fibroblasts in different populations of hematopoietic cells as detected by the in vitro colony assay methods. *Exp Hematol.* 1974;2:83-92.
- 4- Friedenstein AJ, Chailakhyan RK, Latsinik NV, Panansyuk AF, Keiliss-Borok IV. Stromal cells responsible for transferring the microenvironment of the hematopoietic tissues, Cloning in vitro and retransplantation in vivo. *Transplantation.* 1974;17:331-40.
- 5- Zuk PA, Zhu M, Mizuno H, Huang G, Futrell JW, Katz AJ, et al. Multilineage cells from human adipose tissue: Implication for cell-based therapies. *Tissue Eng.* 2001;7:211-28.
- 6- Campagnoli C, Roberts IA, Kumar S, Bennett PR, Bellantuono I, Fisk NM. Identification of mesenchymal stem/progenitor cells in human first-trimester fetal blood, liver and bone marrow. *Blood.* 2001;98:2396-402.
- 7- Piaternella S, Anker SA, Kleijburg-van der Keur C, Noort WA, Class FH, Willemze R, et al. Amniotic fluid as a novel source of mesenchymal stem cells for therapeutic transplantation. *Blood.* 2003;102:1548-9.
- 8- Erices A, Conget P, Minguez JJ. Mesenchymal progenitor cells in human umbilical cord blood. *Br J Haematol.* 2000;109:235-42.
- 9- Prockop DJ. Marrow stromal cells as stem cells for non-hematopoietic tissues. *Science.* 1997;276:711-74.

- phosphate/alginate/gelatin scaffolds. *J Tissue Eng Reg Med.* 2007; 6: 417-24.
- 36- Kuçi S, Wessels JT, Bühring HJ, Schilbach K, Schumm M, Seitz G, et al. Identification of a novel class of human adherent CD34+ stem cells that give rise to SCID-repopulating cells. *Blood.* 2003;3:869-76.
- 37- Quirici N, Soligo D, Bossolasco P, Servida F, Lumini C, Deliliers GL. Isolation of bone marrow mesenchymal stem cells by anti-nerve growth factor receptor antibodies. *Exp Hematol.* 2002;7:783-91.
- 38- Gronthos S, Simmons PJ. The growth factor requirements of STRO-1-positive human bone marrow stromal precursors under serum-derived condistions in vitro. *Blood.* 1995;85:929-40.
- 39- Tropel P, Noel D, Platet N, Legrand P, Benabid AL, Berger F. Isolation and characterization of mesenchymal stem cells from adult mouse bone marrow. *Exp Cell Res.* 2004;295:395-406.
- 40- Peister A, Mellad JA, Larsen LL, Hall BM, Gibson LF, Prockop DJ. Adult stem cells from bone marrow (MSCs) isolated from different strains of inbred mice vary in surface epitopes, rates of proliferation and differentiation potential. *Blood.* 2004;103:1662-8
- 41- Sun S, Guo Z, Xiao X, Liu B, Liu X, Tang PH, et al. Isolation of mouse marrow mesenchymal progenitors by a novel and reliable methods. *Stem cells.* 2003;21:527-35.
- 28- Lennon DP, Caplan AI. Isolation of rat marrow-derived mesenchymal stem cells. *Exp Hematol.* 2006;34:1606-7.
- 29- Wrobel K, Claudio E, Segade F, Ramos S, Lazo PS. Measurement of cytotoxicity by propidium iodide staining of target cell DNA. Application to the quantification of murine TNF-alpha. *J Immunol Methods.* 1996;89:243-9.
- 30- Zhu W, Chen J, Cong X, Hu S, Chen X. Hypoxia and serum deprivation-induced apoptosis in mesenchymal stem cells. *Stem Cells.* 2006;24:416-25.
- 31- Muscari C, Bonafé F, Stanic I, Flamigni F, Stefanelli C, Farruggia G, et al. Polyamine depletion reduces TNFalpha/MG132-induced apoptosis in bone marrow stromal cells. *Stem Cells.* 2005;23:983-91.
- 32- Ribble D, Goldstein NB, Norris DA, Shellman YG. A simple technique for quantifying apoptosis in 96-well plates. *BMC Biotechnol.* 2005;10:5-12.
- 33- Darzynkiewicz Z, Bruno S, Del Bino G, Gorczyca W, Hotz MA, Lassota P, et al. Features of apoptotic cells measured by flow cytometry. *Cytometry* 1992;13:795-808.
- 34- Eslaminejad MB, Nikmahzar A, Thagiyar L, Nadri S, Massumi M. Murine mesenchymal stem cells isolated by low density primary culture system. *Develop Growth Diff.* 2006;48:361-70.
- 35- Eslaminejad MB, Mirzadeh H, Mohamadi Y, Nikmahzar A. Bone differentiation of the marrow-derived mesenchymal stem cells using tricalcium

Protective role of lithium chloride against induced apoptosis in mesenchymal stem cells derived from rat marrow at the culture

Eslaminejad M. R. B.^{*}, Talkhabi M.¹, Zeynali B.¹, Eftekhari P. Y.²

Abstract

AIMS. The objective of this study is to examine the protective effects of lithium chloride against induced apoptosis in rat Mesenchymal Stem Cells (MSCs) culture.

METHODS. In this experimental study, rat bone marrow cells were plated in 2, 5 and 10 mM of lithium chloride and expanded for three successive subcultures. At the end of cultivation period, the number of viable cells in treatment groups and control (without lithium chloride) was determined and compared using propidium Iodide (PI) staining. Furthermore, at passaged-3 cultures, the cells were induced by serum deprivation and TNF α addition and concomitantly treated by the mentioned concentration of lithium chloride. At 24, 48 and 72 hours after apoptosis induction, the cultures were stained with Acridine Orange and Ethidium Bromide.

RESULTS. Flowcytometric distribution of dead and living cells after PI staining indicated that treatment of cells with varying concentration of Lithium cause the increase in number of viable cells compared to that of control. In this term, the highest number of viable cells belongs to culture with 6 mM Lithium chloride ($p<0.05$). Percentages of apoptotic cells for control, 2, 5 and 10 mM lithium were respectively, 19.34, 13.55, 5.75 and 10.31 after 24h that increased by time advancement (48 and 72 hours), cause more differences. In this regards, the least percentages belongs to culture with 5 mM of lithium ($p<0.001$).

CONCLUSION. Lithium chloride, especially at 5 mM concentration, can decrease the amount of apoptotic cells at MSCs cultures that are induced to undergo apoptosis.

KEYWORDS: Rat Mesenchymal Stem Cells, Apoptosis, Serum Deprivation, TNF- α

Submission Date: Revision Date: Acceptation Date:

* Correspondence address: Department of Stem Cells, Cell Sciences Research Center, Royan Institute, Tehran, Iran
eslami@royaninstitute.org

1 College of Biology, Faculty of Sciences, Tehran University, Tehran, Iran

2 Department of Embryology, Medical Research Center of Reproduction, Royan Institute, Tehran, Iran